

論文95-32A-2-6

1.55 μm DFB 레이저의 특성에 미치는 Grating 구조와 Mirror 위치의 영향 - II

(Effect of grating structures and mirror positions
on characteristics of 1.55 μm DFB lasers-II)

權奇英 *

(Kee Young Kwon)

요약

이 논문에서는 한 쪽 거울면에 무반사(AR) 코팅을 해준 1.55 μm DFB 레이저에서, 굴절율 grating과 이득 grating이 공존하는 경우 두 grating의 구조와 배치방법에 따른, 발진 주파수와 발진이득 그리고 축방향으로의 광강도 공간분포 등의 특성 변화를 이론적으로 해석함으로써, 거울면의 위치에 관계없이 좋은 특성을 갖는 LD를 얻을 수 있는 최적구조를 얻었으며, 이는 굴절율 grating과 이득 grating의 위상 차이 $\Delta\Omega$ 를 $\Delta\Omega = 0$ 또는 π 로 하고, $(xL)_r$ 값은 1~3 으로, $(xL)_i$ 값은 0.5~0.9 로하는 것이 이상적임을 지적한다. 이 경우 $\Delta\Omega=0$ 인 DFB 레이저가 $\Delta\Omega=\pi$ 인 DFB 레이저보다 1.2 배 정도 더 좋은 특성을 갖는 것도 밝힌다.

Abstract

The operating characteristics, such as, the threshold gain, lasing frequency, and longitudinal intensity profile, etc., of 1.55 μm DFB laser diode with index and/or gain grating structures and with one side AR-coated mirror have been analyzed. From this analysis, the optimum design parameters have been shown that $\Delta\Omega$ (the phase difference between index grating and gain grating) is 0 or π , $(xL)_r=1\sim3$ and $(xL)_i=0.5\sim0.9$. It has been also shown that the modal selectivity and intensity uniformity of the DFB lasers with $\Delta\Omega=0$ are ~1.2 times better than those of the DFB lasers with $\Delta\Omega=\pi$.

I. 서 론

광대역 광통신 시스템에 소요되는 광원으로 Bragg 산란을 이용한 DFB (Distributed Feedback) 레이저 다이오드(LD)가 각광을 받고 있으나, 굴절율 결합 DFB 레이저의 경우 발진파장의 축퇴^[1]와, 거울면의

반사율과 위상에 민감한 발진특성이^{[2][3]} 문제가 된다. 이를 개선하기 위하여 무반사막 코팅 $\lambda/4$ 위상 편이 DFB LD가 제안되었지만, 잔류 반사율이 극히 작아야하고(<0.005),^[4] 공간 불균일 이득분포 현상이 심한 것^[5]이 문제가 되었다. 최근에 제안된 다른 방법의 LD는 위상 편이가 없는 이득/손실 결합 DFB LD이며, 발진이득의 차이와 공간 불균일 이득분포 현상 등에서 향상된 특성을 보이고, 피드백에도 덜 민감한 특성을 보여준다.^{[6][7][8]}

본 논문은 한 쪽 거울면에 무반사(AR) 코팅을 해준 1.55 μm DFB LD에서, 굴절율 grating과 이득

* 正會員, 公州大學校 工科大學 電子工學科

(Dept. of Electron. Eng., College of Eng.,
Kongju National Univ.)

接受日字 : 1994년 4월 26일

grating^{o]} 공존하는 경우 두 grating의 구조와 배치 방법에 따른, 발진 주파수와 발진이득 그리고 축방향으로의 광강도 공간분포 등의 특성 변화를 이론적으로 해석함으로써, 거울면의 위치변화에도 불구하고 LD의 동작특성이 우수하도록, grating의 구조를 최적화하고자 하는 것이 목적이다. 제Ⅱ장에서 이론적 배경을 설명하고, 제Ⅲ장에서는 굴절율 및 이득 grating의 구조를 어떻게 하는 것이, 거울면의 위치에 관계없이 LD의 동작특성을 좋게 하는지 이론적 해석결과를 바탕으로 검토하고, 마지막으로 결론을 내렸다.

II. 이론 [9] [10]

1. 발진 모드와 발진 이득

굴절율 grating과 이득 grating^{o]} 주는 효과를 모두 고려하기 위하여, 다음 식과 같이 굴절율 및 이득의 변화를 표현할 수 있다.

$$n(z) = n + (\Delta n) \cos(2\pi z/\Lambda + \Omega) \quad (1)$$

$$\alpha(z) = \alpha + (\Delta \alpha) \cos(2\pi z/\Lambda + \Omega + \Delta \Omega) \quad (2)$$

여기서 $n(z)$ 는 굴절율이고, $\alpha(z)$ 는 이득이다. z 는 축 방향으로의 좌표값으로, 좌측 거울은 $z = -L'/2$ 에 위치하고, 우측 거울은 $z = L''/2$ 에 위치한다.

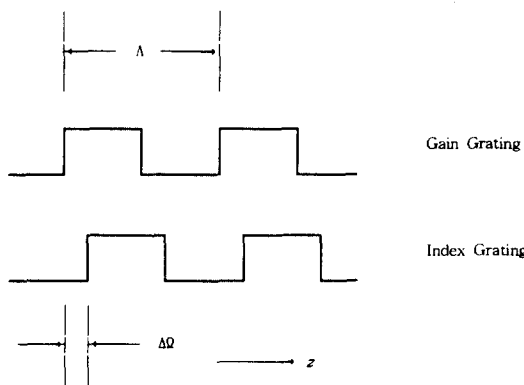


그림 1. 굴절율 grating과 이득 grating이 공존하는 DFB 레이저의 단면구조. A는 굴절율과 이득 grating의 주기이고, $\Delta\Omega$ 는 굴절율 grating과 이득 grating 사이의 위상차이를 나타낸다.

Fig. 1. Schematic diagram of complex coupled structures. A is period of index and gain gratings and $\Delta\Omega$ is a phase difference between index and gain gratings

그림 1.에서 보는 바와 같이 A와 Ω 는 각각 굴절율 grating과 이득 grating의 주기 및 위상이고, $\Delta\Omega$ 는 굴절율 grating과 이득 grating의 위상차이를 나타낸다. 만족시켜야 하는 파동 방정식은 다음과 같다.

$$\nabla^2 E(z, t) + k^2(z) E(z, t) = 0 \quad (3)$$

식(3)의 해는 $E(z, t) = E(z)e^{i\omega t}$ 의 형태로 나타낼 수 있으며, $k^2(z)$ 는 $\Delta n \ll n$, $\alpha \ll \beta$ 그리고 $\Delta\alpha \ll \beta$ 라는 가정 하에 다음과 같이 쓸 수 있다.

$$k^2(z) \approx \beta^2 + 2ia\beta + 4x\beta \cos(2\beta_0 z + \Omega) - 2i(\Delta\alpha)\beta \sin(2\beta_0 z + \Omega) \sin(\Delta\Omega) \quad (4)$$

여기서

$$\beta_0 = \pi/\Lambda \quad (5)$$

$$\beta = n\omega/c \quad (6)$$

$$x = \left(\frac{\beta}{2}\right)\left(\frac{\Delta n}{n}\right) + i\frac{\Delta\alpha}{2} \cos(\Delta\Omega) \quad (7)$$

식 (4)의 α 는 레이저 발진을 위한 문턱에서의 순이득이며, 식 (6)의 발진주파수 ω 는 β 를 알면 구할 수 있다. 일반성을 잃지 않고 $E(z)$ 를 다음과 같이 쓸 수 있다.

$$E(z) = R(z)e^{-i\beta_0 z} + S(z)e^{i\beta_0 z} \quad (8)$$

여기서 $R(z)$ 는 z 의 양의 방향으로 전파하는 파동이고 $S(z)$ 는 z 의 음의 방향으로 전파하는 파동이며, 다음 식을 만족시킨다.

$$-R' + (\alpha - i\delta)R = ix'e^{-i\Omega}S \quad (9)$$

$$S' + (\alpha - i\delta)S = ix''e^{i\Omega}R \quad (10)$$

여기서

$$\delta = \beta - \beta_0 \quad (11)$$

$$x' = x + \frac{\Delta\alpha}{2} \sin(\Delta\Omega) \quad (12)$$

$$x'' = x - \frac{\Delta\alpha}{2} \sin(\Delta\Omega) \quad (13)$$

(9) (10)식은 다음과 같은 형태의 해를 갖는다.

$$R(z) = r_1 e^{rz} + r_2 e^{-rz} \quad (14)$$

$$S(z) = s_1 e^{rz} + s_2 e^{-rz} \quad (15)$$

여기서 r_1, r_2, s_1 과 s_2 는 상수이다. 최종적으로 다음과

같은 고유치 방정식을 얻는다.

$$\gamma L = \frac{-1kL \sinh(\gamma L)}{D} \\ \left\{ \left(\frac{k}{k'} \rho_i + \rho_r \right)^2 (a - \rho^2) \cosh(\gamma L) \right. \\ \left. + (a + \rho^2) \left[\frac{(k')^2}{k} \rho_i - \rho_r \right]^2 \sinh^2(\gamma L) + \frac{k'}{k} (1 - \rho^2)^2 \right\}^{\frac{1}{2}} \quad (16)$$

여기서

$$D = (1 + \rho^2)^2 - 4\rho^2 \cosh^2(\gamma) \quad (17)$$

$$\rho^2 = \rho_i \rho_r = \hat{\rho}_i \hat{\rho}_r e^{-i\beta_0 L} \quad (18)$$

$$\rho_i = \hat{\rho}_i e^{-i\beta_0 L'} e^{i\omega} \quad (19)$$

$$\rho_r = \hat{\rho}_r e^{-i\beta_0 L''} e^{-i\omega} \quad (20)$$

$$L = (L' + L'')/2 \quad (21)$$

식 (16)에서 γ 를 구할 수 있으며, 이로 부터 문턱에서의 이득 α 와 δ 를 구하고, δ 로 부터 발진주파수 $\omega = \frac{c\beta}{n} = \frac{c}{n}(\beta_0 + \delta)$ 을 구할 수 있다.

2. 모드의 광강도 공간분포

식 (14)와 (15)의 $R(z)$, $S(z)$ 표현식에서 r_1 , r_2 , s_1 및 s_2 의 절대치는 알 수 없으나 상대적인 크기는 다음식으로 부터 알 수 있다.

$$r_1 = (ix'e^{-i\omega}/\hat{\Gamma})s_1 \quad (22)$$

$$\frac{r_2}{r_1} = \frac{\left(\frac{x'}{x''} - \rho_i \hat{\Gamma} / ix''\right)}{\left(\rho_i - \hat{\Gamma} / ix''\right)} e^{-i\omega} e^{-i\delta L'} s_1 \quad (23)$$

$$s_2 = \frac{ix''}{\hat{\Gamma}} \frac{\left(\frac{x'}{x''} - \rho_i \hat{\Gamma} / ix'\right)}{\left(\rho_i - \hat{\Gamma} / ix''\right)} e^{-i\delta L'} s_1 \quad (24)$$

$$\hat{\Gamma} = -\gamma + \alpha - i\delta \quad (25)$$

식 (22), (23), (24)를 식 (14), (15)에 대입하여, 공진기 내 축방향으로의 광강도 공간분포를 다음식으로부터 구할 수 있다.

$$P_t(z) = c_1 |R(z) + S(z)|^2 \quad (26)$$

III. 레이저 특성 수치해석

1. 계산 방법

제1차 Bragg 산란이 일어나는 grating의 주기를 0.225μm로 하였다. 편의상 식 (1), (2)에서 $\Omega = 0$ 가

되어 $z=0$ 가 되는 지점을 선택하였고, 식 (16)의 γ 는 1×10^{-5} 보다 작은 오차를 갖도록 반복 계산을 하였다.

한 쪽 거울면에 무반사(AR) 코팅을 하면 단 한 개의 반사면만 존재하게 되며, 편의상 우측 거울에 무반사 코팅을 한 경우를 가정하였다. 이때 $\rho_r = 0$ 이므로 우측 거울의 위치에 따른 ρ_r 의 위상 변화는 없고, 좌측 거울의 위치 $z = -L'/2$ 에 의해서만 문턱에서의 순이득 α 와 모드의 주파수, 축방향 전계분포 등이 변화하게 된다. 이러한 특성 변화는 식 (16)에서 알 수 있듯이 식 (12) 및 (13)의 x 값과 $\Delta\Omega$ 에 의존하게 된다.

xL 은 다음과 같다.

$$xL = \left(\frac{\beta}{2} \right) \left(\frac{\Delta n}{n} \right) L + i \left(\frac{\Delta \alpha}{2} \right) L \cdot \cos(\Delta\Omega) \\ = (xL)_r + i(xL)_i \cdot \cos(\Delta\Omega) \quad (27)$$

여기서

$$(xL)_r = \left(\frac{\beta}{2} \right) \left(\frac{\Delta n}{n} \right) L \quad (28)$$

$$(xL)_i = \left(\frac{\Delta \alpha}{2} \right) L \quad (29)$$

편의상 $(xL)_r = 0.0, 0.1, 0.5, 1, 2, 3, \dots, 10$ 의 13개 값을 선택하였고, $(xL)_i = 0.0, 0.1, 0.3, 0.5, 0.7, 0.9$ 의 6개 값을 선택하였다.

$\Delta\Omega$ 는 굴절율 grating과 이득 grating의 위상 차이이며, 편의상 $\Delta\Omega = 0.0, \pi/4, \pi/2, 3\pi/4, \pi, 5\pi/4, 3\pi/2, 7\pi/4$ 로 8개 값을 선택하여 계산하였다.

좌측 거울의 위치에 따른 특성을 파악하기 위하여 편의상 좌측 거울의 위치 $z = -L'/2$ 을, $z = \frac{199.6621}{2} \mu\text{m}$ ($\text{phase} = -\pi/2$), $z = \frac{199.774}{2} \mu\text{m}$ ($\text{phase} = \pi$), $z = \frac{199.8873}{2} \mu\text{m}$ ($\text{phase} = \pi/2$)와 $z = \frac{200}{2} \mu\text{m}$ ($\text{phase} = 0$)의 4경우로 나누어서 계산하였다.

2. 계산 결과 및 검토

1) 거울의 위치가 모드 이득에 미치는 영향

한 개의 반사면을 갖는 경우 즉 우측 거울에 무반사 코팅을 한 경우 $\rho_r = 0$ 이며, 따라서 우측 거울의 위치에 따른 ρ_r 의 위상 변화는 없다. 편의상 $\Delta\Omega = 0$, $(xL) = 0.7$ 로 고정시키고, 좌측 거울의 위상만 $0, \pi/2, \pi, -\pi/2$ 의 4 가지로 변화시키면서, 각 발진 모드의 αL vs. δL 을 (xL) 의 변화에 따라 그린 것이 그림 2에 나타나 있다. 그림에서 각 모드는 기호로 표시되어 있으며, $(xL)_i = 0$ 은 「□」, $(xL)_i = 0.1$ 은 「+」,

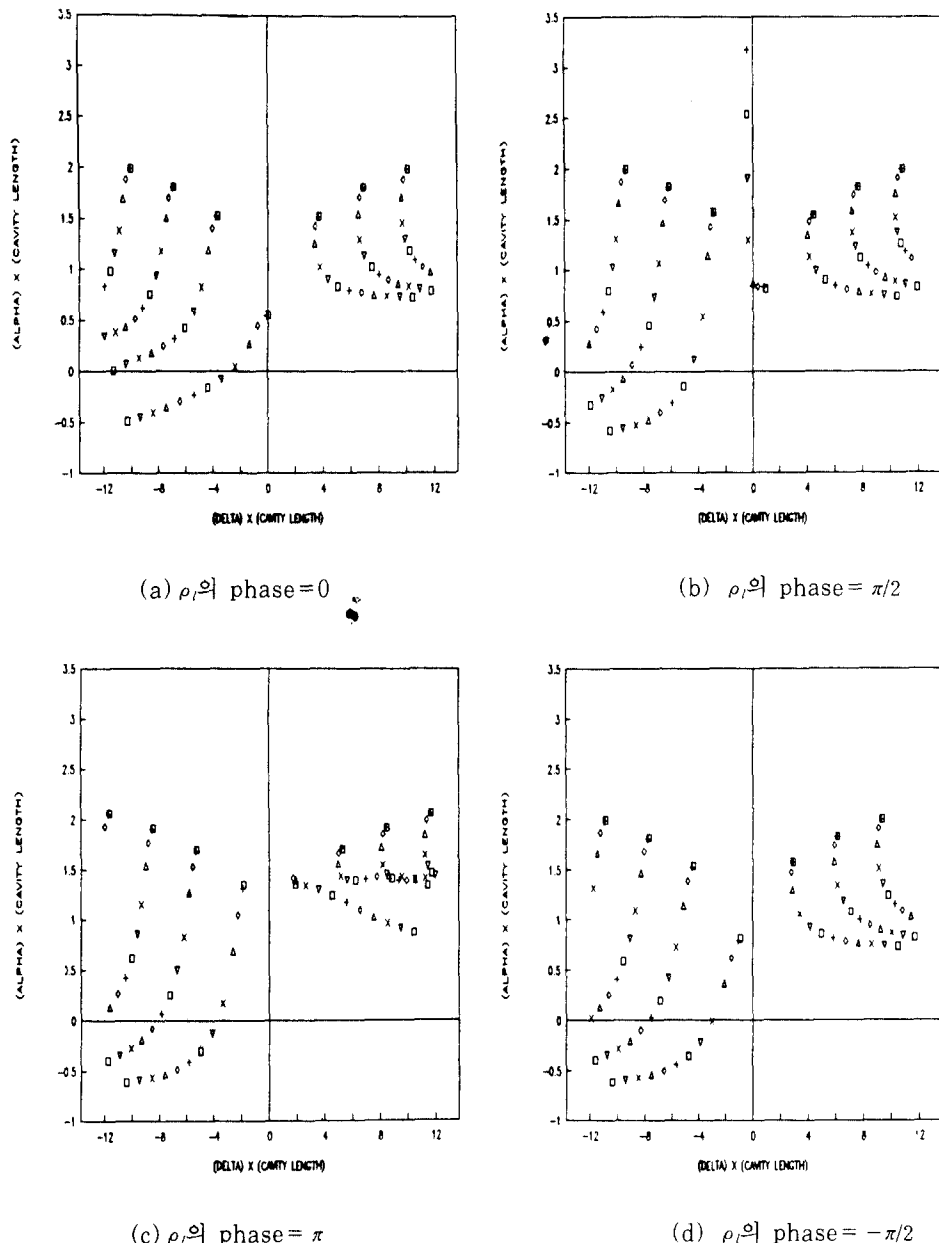


그림 2. $\Delta\Omega=0$, $(kL)_i=0.7$ 로 고정하고 $(kL)_r$ 을 0에서 10까지 변화시킬 때, 좌측 거울의 위상 조합 4가지에 대한 각 발진 모드의 aL vs. δL 도표

Fig. 2. aL vs. δL graph with $(kL)_r$ as a parameter, in case of $\Delta\Omega=0$, and $(kL)_i=0.7$.

$(xL)_r=0.5$ 는 「◇」, $(xL)_r=1$ 은 「△」, $(xL)_r=2$ 은 「×」, $(xL)_r=3$ 은 「▽」, $(xL)_r=4$ 는 「□」, $(xL)_r=5$ 는 「+」, $(xL)_r=6$ 은 「◇」, $(xL)_r=7$ 은 「△」, $(xL)_r=8$ 은 「×」, $(xL)_r=9$ 는 「▽」,

$(xL)_r=10$ 은 「□」의 순서로 되어있다. 순수하게 굴절율 grating만 있는 $(xL)_i=0$ 인 경우에는 (b) ρ_i 의 phase = $\pi/2$, (d) ρ_i 의 phase = $-\pi/2$ 인 조건에서 aL vs. δL 도표가 좌우 대칭이므로, 동시에 두 모드

가 발진하는 단점이 있으나^[2], 식 (2)로 주어지는 이득 grating을 첨가 시킬 경우, 좌측 거울의 위치가 어떤 경우더라도 그림 2와 같이 모드 선별성이 두드러지게 향상됨을 알 수 있다.

2) $\Delta\Omega$ 와 $(xL)_r$ 가 모드이득에 미치는 영향

$\Delta\Omega$ 와 $(xL)_r$ 가 발진모드에 미치는 영향을 살펴보기 위하여, 좌측 거울의 위상은 ρ_r 의 phase=0으로 고정하고, $(xL)_r$ 는 0, 0.3, 0.7의 3경우로 변화시키고, $\Delta\Omega$ 는 0, $\pi/2$, π 의 3경우로 변화시키면서, 총 9 경우에 대한 aL vs. δL 도표를 그린 것이 그림 3에 나타나 있다. 가로방향은 $(xL)_r$ 가 증가하는 방향이고 세로방향은 $\Delta\Omega$ 가 증가하는 방향이다.

먼저 $\Delta\Omega$ 를 고정시키고 $(xL)_r$ 를 변화시킬 경우에 모드 특성을 살펴보면 다음과 같다. $\Delta\Omega=0$ 로 고정시킨 (a)~(c)의 경우, $(xL)_r$ 가 증가하면서 $\delta L < 0$ 의 모드들은 aL 이 감소하고 $\delta L > 0$ 모드들은 aL 이 증가하는 반시계 방향 회전 경향을 보인다. 그러나 $\Delta\Omega=\pi$ 인 (g)~(i)의 경우에는 이와 반대로, $(xL)_r$ 가 증가하면서 $\delta L < 0$ 의 모드들은 aL 이 증가하고 $\delta L > 0$ 모드들은 aL 이 감소하는 시계 방향 회전 경향을 보인다. 또한 $\Delta\Omega=\pi/2$ 인 (d)~(f)의 경우에는, $(xL)_r$ 가 증가하면서 전반적으로 aL 의 변화가 거의 없으며, 단지 $(xL)_r$ 이 2 이하인 모드들은 다소 차이를 보이는 것을 알 수 있다. 다음 $(xL)_r$ 를 고정시키고 $\Delta\Omega$ 를 변화시킬 경우를 살펴보면 다음과 같다. $(xL)_r=0.7$ 로 고정시키고, (c) $\Delta\Omega=0$, (f) $\Delta\Omega=\pi/2$, (i) $\Delta\Omega=\pi$ 로 증가할 때 $\delta L < 0$ 의 모드들은 aL 이 증가하고, $\delta L > 0$ 모드들은 aL 이 감소하는 시계 방향의 회전 경향을 보인다. 따라서 $\Delta\Omega=\pi/2$ 가 되면, $\Delta\Omega=0$ 일 때 $(xL)_r$ 이 0에서 0.7로 증가하면서 aL 이 반시계 방향의 회전 변화를 한 것이 [(a)→(c)], $\Delta\Omega$ 가 0에서 $\pi/2$ 로 되면서 시계 방향의 회전과 상쇄되어 [(c)→(f)]. 다시 원상태 [(a) $\Delta\Omega=0$ 이고 $(xL)_r=0$]로 돌아오는 경향을 보인다. $(xL)_r$ 를 고정시키고 $\Delta\Omega$ 를 변화시킬 경우, $\Delta\Omega$ 가 0에서 $\pi/2$, π 로 증가할 때 $\delta L < 0$ 의 모드들은 aL 이 증가하고, $\delta L > 0$ 모드들은 aL 이 감소하는 시계 방향의 회전 경향을 보이는데, 그 변화의 정도는 $(xL)_r$ 의 값이 클 수록 더욱 커진다.

$\Delta\Omega=5\pi/4$, $3\pi/2$, $7\pi/4$ 의 경우는 식 (7), (12), (13)에서 알 수 있듯이, $0 \leq \Delta\Omega \leq \pi$ 구간과 $\pi \leq \Delta\Omega \leq 2\pi$ 구간 간의 대칭성으로 인하여, $\Delta\Omega=3\pi/4$, $\pi/2$, $\pi/4$ 때와 각각 유사한 특성을 보인다. 상

기의 경향은 ρ_r 의 phase=0이 아닌 다른 ρ_r 의 phase를 갖는 경우에도 동일하며, 따라서 $\Delta\Omega=\pi/2$ 및 $\Delta\Omega=3\pi/2$ 인 경우에는 aL vs. δL 그림이 좌우대칭인 경우, 이득 grating의 효과를 증가시켜도 특성이 개선되지 않으므로, 모드 선별성이 매우 불량하여 DFB 레이저로 부적합함을 알 수 있다.

3) 발진모드의 gain 선별성과 안정성

여러가지 $(xL)_r$ 과 $(xL)_l$, 그리고 $\Delta\Omega$ 값에 대하여 발진모드의 문턱이득 선별성을 비교하기 위하여, 좌측 거울의 위치를 ρ_l 의 phase=0, $\pi/2$, π , $-\pi/2$ 의 4 가지 경우로 변화시키면서, 각 경우에 대한 문턱이득이 제일 작은 모드(발진 모드)와 그 다음으로 작은 모드 간의 문턱이득의 차이 Δg_{th} 를 구하여, 총 4 가지 경우 중에서 제일 작은 Δg_{th} 값을, 주어진 $(xL)_r$, $(xL)_l$, 그리고 $\Delta\Omega$ 값에서의 $\min[\Delta g_{th}]$ 로 계산하였다.

계산 결과를 정리하면 $\min[\Delta g_{th}]$ 값이 커서 발진 모드 선별성이 좋은 경우는 $\Delta\Omega=0$ 인 DFB 레이저와 $\Delta\Omega=\pi$ 인 DFB 레이저인 경우이고, $\Delta\Omega=\pi/2$ 및 $\Delta\Omega=3\pi/2$ 인 경우에는 2.2-2에서 검토한 바와 같이 aL vs. δL 도표가 좌우 대칭인 경우 이득 grating을 강하게 첨가시켜도 특성이 개선이 되는 까닭에, $\Delta\Omega=0$ 와 $\Delta\Omega=\pi$ 인 경우에 비하여 $1/10^4$ 이하의 선별성을 갖는다. $\Delta\Omega=0$ 와 $\Delta\Omega=\pi$ 인 두 경우에 대하여, 좋은 발진 모드 선별성을 보이는 $(xL)_r$ 과 $(xL)_l$ 의 범위를 구하면, $(xL)_r$ 는 2~5인 경우이고 $(kL)_l$ 는 0.5~0.9로 클수록 좋다. 동시에 발진 모드가 안정하려면 공간 불균일 이득분포 현상이 없어야 한다. 이를 비교하기 위하여 식 (26)에 의한 축방향으로의 광강도 공간분포 $P(z)$ 를 구하여 $\min[P_t(z)] / \max[t(z)]$ 를 계산하고, ρ_l 의 phase 4 가지 경우 중에서 제일 작은 $\min[P_t(z)] / \max[t(z)]$ 값을, 주어진 $(L)_r$, $(kL)_l$, 그리고 $\Delta\Omega$ 값에서의 $\min(\min[P_t(z)] / \max[P_t(z)])$ 로 함으로써, 이 수치를 비교하여 발진 모드의 안정성에 대한 척도로 사용하였다. 발진 모드 안정성을 비교하기 위한 $\min(\min[P_t(z)] / \max[P_t(z)])$ 값을 보면, 무반사 코팅을 전혀 하지 않은 두 개의 벽개 반사면을 갖는 DFB 레이저인 경우에는 $\Delta\Omega=\pi$ 일 때 나머지 일곱 가지 $\Delta\Omega$ 값을 갖는 경우에 비하여 $1/10^{11}$ 이하의 특별히 나쁜 특성을 보였지만^[10]. 이 경우에는 $\Delta\Omega=\pi$ 인 DFB 레이저가 $\Delta\Omega=0$ 인 DFB 레이저 경우 보다는 못하지만 다른 경우들과 비슷한 수준을 나타냈다. $\Delta\Omega=3\pi/4$ 와 $\Delta\Omega=5\pi/4$ 를 제외한 나머지 여섯 경

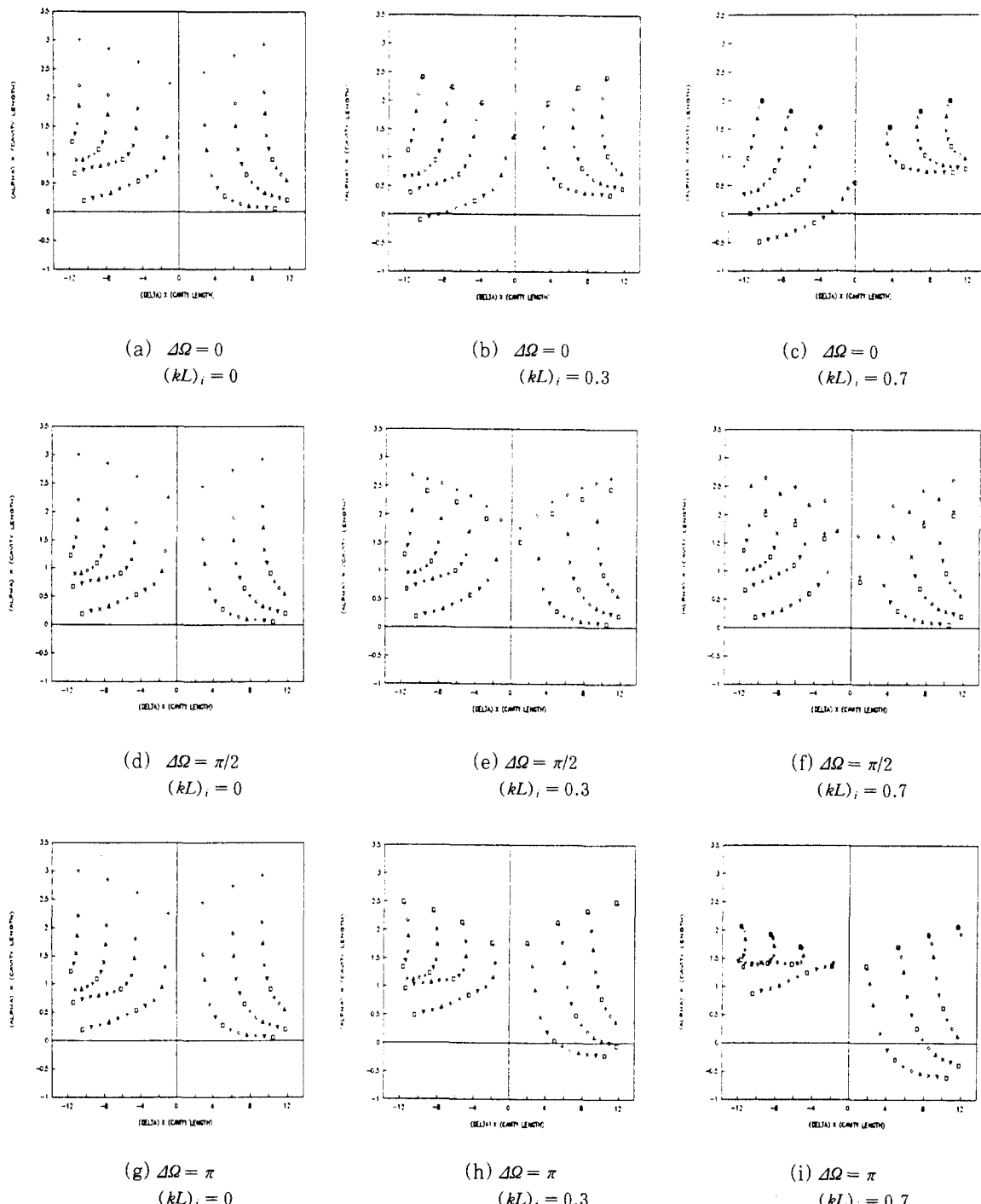


그림 3. ρ_i 의 phase=0으로 고정하고, $\Delta\Omega$ 와 $(kL)_i$ 를 변화 시킬 때의 aL vs. ΔL 도표
 $\Delta\Omega = 0, \pi/2, \pi^0$ 이고 $(kL)_i = 0, 0.3, 0.7$ 로 변화할 때의 도표

Fig. 3. aL vs. ΔL graph with $(kL)_i$ as a parameter, in case of ρ_i phase=0.

우는 대체적으로 $(xL)_i$ 는 1~3인 범위에서 그리고 $(xL)_i$ 는 0~0.9의 전 범위에서 양호한 특성을 갖는다.

$\Delta\Omega = 3\pi/4$ 인 경우는 $(xL)_i = 0.3$ 일 때 $(xL)_i$ 는 2~4 범위에서, $(xL)_i = 0.5$ 일 때 $(xL)_i$ 는 2~6 범위에

서. 그리고 $(xL)_r = 0.7$ 일 때 $(xL)_i$ 는 3~6 범위에서 높은 값을 갖는다. ($\min[\Delta g_{th}]$) 값과 $\min(\min[P_i(z)] / \max[P_i(z)])$ 값의 곱을, LD의 모드 선별성과 안정성에 대한 우열의 차대로 사용하는 것은 타당하다. 8가지의 $\Delta\Omega$ 값에 대하여 ($\min[\Delta g_{th}]$) 값과 $\min(\min[P_i(z)] / \max[P_i(z)])$ 값의 곱을 표로 정리하면 다음과 같다.

① $\Delta\Omega=0$ 인 경우 (x E-2)

표 1. $(xL)_r$ 과 $(xL)_i$ 에 따른 ($\min[\Delta g_{th}]$) × $\min(\min[P_i(z)] / \max[P_i(z)])$

Table 1. ($\min[\Delta g_{th}]$) × $\min(\min[P_i(z)] / \max[P_i(z)])$ with $(xL)_r$ and $(xL)_i$ as parameters.

$(xL)_r$	0.0	0.1	0.3	0.5	0.7	0.9
$(xL)_i$						
1	8.E-5	0.081	0.877	0.989	1.195	1.513
2	1.E-5	0.200	0.613	1.021	1.260	1.355
3	3.E-6	0.048	0.464	0.823	0.903	0.984
4	3.E-6	0.080	0.276	0.490	0.531	0.566
5	1.E-6	0.059	0.197	0.292	0.315	0.336
6	3.E-6	0.033	0.157	0.182	0.196	0.210
7	0.E+0	0.012	0.106	0.117	0.127	0.136
8	0.E+0	2.E-4	0.071	0.079	0.085	0.092

② $\Delta\Omega = \pi/4$ 인 경우 (x E-2)

표 2. $(xL)_r$ 과 $(xL)_i$ 에 따른 ($\min[\Delta g_{th}]$) × $\min(\min[P_i(z)] / \max[P_i(z)])$

Table 2. ($\min[\Delta g_{th}]$) × $\min(\min[P_i(z)] / \max[P_i(z)])$ with $(xL)_r$ and $(xL)_i$ as parameters.

$(xL)_r$	0.0	0.1	0.3	0.5	0.7	0.9
$(xL)_i$						
1	8.E-5	0.082	0.187	0.039	0.166	0.400
2	1.E-5	0.042	0.434	0.725	1.021	1.267
3	3.E-6	0.133	0.189	0.511	0.827	0.901
4	3.E-6	0.105	0.103	0.615	0.491	0.522
5	1.E-6	0.080	0.079	0.254	0.294	0.313
6	3.E-6	0.060	0.074	0.1700	0.183	0.194
7	0.E+0	0.033	0.070	0.110	0.118	0.126
8	0.E+0	0.016	0.066	0.073	0.079	0.084

위의 결과를 정리하면 ① $\Delta\Omega=0$ 인 DFB 레이저와

⑤ $\Delta\Omega=\pi$ 인 DFB 레이저에서는 $(xL)_i$ 1~3 일 때 그리고 $(xL)_i$ 는 0.5~0.9일 때가 최적조건이며, $(xL)_i=2$ 일 때가 그리고 $(xL)_i$ 는 0.9로 갈수록 좋은 결과를 보인다. 전체 경우 중 가장 좋은 수치를 나타내는 조건은 ① $\Delta\Omega=0$ 인 DFB 레이저에서, $(xL)_i=1$, $(xL)_r=0.9$ 일 때의 1.513×10^{-2} 로, ⑤ $\Delta\Omega=\pi$ 인 DFB 레이저에서의 1.275×10^{-2} 때 보다 1.2 배 향상된 값을 갖는다. 결론적으로 한 개의 반사면을 갖는 경우에 있어서 거울면의 위치에 관계없이 좋은 특성을

③ $\Delta\Omega = \pi/2$ 인 경우 (x E-6)

표 3. $(xL)_r$ 과 $(xL)_i$ 에 따른 ($\min[\Delta g_{th}]$) × $\min(\min[P_i(z)] / \max[P_i(z)])$

Table 3. ($\min[\Delta g_{th}]$) × $\min(\min[P_i(z)] / \max[P_i(z)])$ with $(xL)_r$ and $(xL)_i$ as parameters.

$(xL)_r$	0.0	0.1	0.3	0.5	0.7	0.9
$(xL)_i$						
1	0.785	0.455	0.118	0.044	0.025	0.016
2	0.101	0.048	0.034	0.103	0.153	0.203
3	0.028	0.069	0.088	0.093	0.117	0.147
4	0.028	0.043	0.083	0.080	0.077	0.091
5	0.013	0.021	0.040	0.058	0.056	0.072
6	0.027	0.040	0.039	0.E+0	0.037	0.036
7	0.E+0	0.E+9	0.E+0	0.027	0.027	0.026
8	0.E+0	0.E+0	0.028	0.E+0	0.027	0.E+0

④ $\Delta\Omega=3\pi/4$ 인 경우 (x E-2)

표 4. $(xL)_r$ 과 $(xL)_i$ 에 따른 ($\min[\Delta g_{th}]$) × $\min(\min[P_i(z)] / \max[P_i(z)])$

Table 4. ($\min[\Delta g_{th}]$) × $\min(\min[P_i(z)] / \max[P_i(z)])$ with $(xL)_r$ and $(xL)_i$ as parameters.

$(xL)_r$	0.0	0.1	0.3	0.5	0.7	0.9
$(xL)_i$						
1	8.E-5	0.063	0.078	0.013	0.003	0.022
2	1.E-5	0.036	0.669	0.759	0.405	0.091
3	3.E-6	0.126	0.358	1.415	1.078	0.372
4	3.E-6	0.105	0.234	1.135	1.073	0.381
5	1.E-6	0.080	0.209	1.069	0.728	0.258
6	3.E-6	0.061	0.226	0.858	0.443	0.128
7	0.E+0	0.033	0.241	0.547	0.239	0.036
8	0.E+0	0.016	0.256	0.320	0.103	0.011

⑤ $\Delta\Omega = \pi$ 인 경우 (x E-2)

표 5. $(xL)_r$ 과 $(xL)_i$ 에 따른 $(\min[\Delta g_{th}]) \times \min(\min[P_t(z)] / \max[P_t(z)])$

Table 5. $(\min[\Delta g_{th}]) \times \min(\min[P_t(z)] / \max[P_t(z)])$ with $(xL)_r$ and $(xL)_i$ as parameters.

$(xL)_r$	0.0	0.1	0.3	0.5	0.7	0.9
$(xL)_i$						
1	8.E-5	0.041	0.639	0.540	0.513	0.518
2	1.E-5	0.129	0.468	0.902	1.241	1.275
3	3.E-6	0.031	0.345	0.701	0.724	0.657
4	3.E-6	0.054	0.264	0.400	0.378	0.328
5	1.E-6	0.038	0.140	0.201	0.188	0.172
6	3.E-6	0.023	0.124	0.128	0.121	0.112
7	0.E+0	0.010	0.089	0.103	0.104	0.100
8	0.E+0	2.E-4	0.053	0.060	0.061	0.062

⑥ $\Delta\Omega=5\pi/4$ 인 경우 (x E-2)

표 6. $(xL)_r$ 과 $(xL)_i$ 에 따른 $(\min[\Delta g_{th}]) \times \min(\min[P_t(z)] / \max[P_t(z)])$

Table 6. $(\min[\Delta g_{th}]) \times \min(\min[P_t(z)] / \max[P_t(z)])$ with $(xL)_r$ and $(xL)_i$ as parameters.

$(xL)_r$	0.0	0.1	0.3	0.5	0.7	0.9
$(xL)_i$						
1	8.E-5	0.172	0.020	0.069	0.027	0.012
2	1.E-5	0.060	0.076	0.019	0.012	0.001
3	3.E-6	0.040	0.033	0.007	0.008	0.174
4	3.E-6	0.035	0.002	0.001	0.071	0.380
5	1.E-6	0.022	0.008	0.039	0.151	0.481
6	3.E-6	0.020	2.E-4	0.046	0.205	0.530
7	0.E+0	0.010	0.005	0.054	0.234	0.542
8	2.E-6	0.003	0.003	0.060	0.236	0.530

갖는 레이저 디이오드를 만들기 위해서는, 굴절율 grating과 이득 grating의 위상 차이를 $\Delta\Omega=0$ 또는 π 로 하고, $(xL)_r$ 값은 1~3으로, $(xL)_i$ 값은 0.5~0.9로 하는 것이 바람직함을 알 수 있다. 특별히 ④ $\Delta\Omega=3\pi/4$ 인 경우, $(xL)_i$ 값이 0.5~0.7 일 때 $(xL)_r$ 값이 3~5의 범위에서, $\Delta\Omega=\pi$ 인 DFB 레이저 보다 좋은 특성을 보여주지만, $\Delta\Omega=3\pi/4$ 를 제작하는데 있어서 다소 어려움이 따른다. ③ $\Delta\Omega=\pi/2$ 인 경우와 ⑦ $\Delta\Omega=3\pi/2$ 인 경우에는 aL vs. δL

도표의 좌우 대칭성이 개선되지 않아 $\min[\Delta g_{th}]$ 값이 작은 것이 원인이 되어 특히 나쁜 특성을 나타낸다. $(xL)_i=0$ 인 순수 굴절율 결합 DFB 레이저는, 좌우 대칭인 aL vs. δL 도표를 갖는 좌측 거울의 위상 조건이 항상 존재하여, $\Delta\Omega$ 값에 관계없이 항상 $1/10^4$ 이하의 나쁜 특성을 보인다.

⑦ $\Delta\Omega=3\pi/2$ 인 경우 (x E-6)

표 7. $(xL)_r$ 과 $(xL)_i$ 에 따른 $(\min[\Delta g_{th}]) \times \min(\min[P_t(z)] / \max[P_t(z)])$

Table 7. $(\min[\Delta g_{th}]) \times \min(\min[P_t(z)] / \max[P_t(z)])$ with $(xL)_r$ and $(xL)_i$ as parameters.

$(xL)_r$	0.0	0.1	0.3	0.5	0.7	0.9
$(xL)_i$						
1	0.785	1.300	2.980	6.056	10.72	12.52
2	0.101	0.146	0.220	0.456	0.646	0.871
3	0.028	0.007	0.004	3.E-4	0.006	0.059
4	0.028	0.010	0.003	0.002	0.E+0	0.E+0
5	0.013	0.007	0.003	0.012	0.047	0.E+0
6	0.027	0.E+0	0.003	0.E+0	0.E+0	0.E+0
7	0.E+0	0.007	0.005	0.E+0	0.E+0	0.031
8	0.020	0.002	0.010	0.E+0	0.E+0	0.E+0

⑧ $\Delta\Omega/4$ 인 경우 (x E-2)

표 8. $(xL)_r$ 과 $(xL)_i$ 에 따른 $(\min[\Delta g_{th}]) \times \min(\min[P_t(z)] / \max[P_t(z)])$

Table 8. $(\min[\Delta g_{th}]) \times \min(\min[P_t(z)] / \max[P_t(z)])$ with $(xL)_r$ and $(xL)_i$ as parameters.

$(xL)_r$	0.0	0.1	0.3	0.5	0.7	0.9
$(xL)_i$						
1	8.E-5	0.511	0.062	0.474	0.902	1.361
2	1.E-5	0.140	0.438	0.691	0.441	0.162
3	3.E-6	0.106	0.305	0.672	0.814	0.874
4	3.E-6	0.105	0.145	0.419	0.488	0.528
5	1.E-6	0.074	0.091	0.274	0.293	0.311
6	3.E-6	0.051	0.075	0.170	0.181	0.193
7	0.E+0	0.026	0.068	0.110	0.117	0.125
8	2.E-6	0.011	0.064	0.073	0.078	0.083

IV. 결 론

한 쪽 거울면에 무반사(AR) 코팅을 해준 1.55 μm

DFB 레이저 다이오드에서, 굴절율 grating과 이득 grating이 공존하는 경우 두 grating의 구조와 배치 방법에 따른, 발진 주파수와 발진이득 그리고 축방향으로의 광강도 공간분포 등의 특성 변화를 이론적으로 해석함으로써, 거울의 위치에 관계없이 좋은 특성의 LD를 얻을 수 있는 최적 구조를 찾는 것이 본 논문의 목적이다. 제 III 장의 해석결과를 통하여 $(xL)_c$, $(xL)_i$, 그리고 $\Delta\Omega$ 의 변화에 따른 $\min[\Delta g_{th}]$ 값과 $\min(\min[P_t(z)] / \max[P_t(z)])$ 값의 변화 양상을 파악할 수 있으며, 다음과 같은 결론을 얻었다. ① $(xL)_c=0$ 인 순수한 굴절율 결합 DFB 레이저의 경우는, 좌우대칭인 aL vs. δL 도표를 갖는 한쪽 거울의 위상 조건이 항상 존재하여, 그 한쪽 거울의 위치에 매우 민감한 발진특성을 보이고 또한 발진파장의 축퇴현상이 발생하는 단점이 있으나, 이득 grating을 동시에 만들어 주면 거울의 위치에 관계없이 단일 모드가 안정되게 발진하도록 하는 것이 가능하며, 이러한 효과는 $(xL)_i$ 가 0.3 이상 만 되면 두드러지고, $(xL)_i$ 가 0.9 까지 커질수록 더욱 현저하게 나타난다. ② 두 개의 반사면을 갖는 DFB 레이저와는 다르게, $\Delta\Omega = \pi$ 인 DFB 레이저가 매우 좋은 특성을 보이며, $\Delta\Omega$ 인 DFB 레이저의 $(\min[\Delta g_{th}]) \times \min(\min[P_t(z)] / \max[P_t(z)])$ 값에 비하여 80% 정도되는 수치를 갖는다. ③ 거울의 위치에 관계없이 좋은 특성을 갖는 레이저 다이오드를 만들기 위해서는, 굴절율 grating과 이득 grating의 위상 차이 $\Delta\Omega$ 를 0 또는 π 로 하고, $(xL)_i$ 값은 1~3 으로, $(xL)_c$ 값은 0.5~0.9로 하는 것이 최적 조건이다. ④ $(xL)_i$ 값과 $(xL)_c$ 값에 따라 다르기는 하지만, 전반적으로 $\Delta\Omega=0$, $\Delta\Omega=3\pi/4$, $\Delta\Omega=\pi$, $\Delta\Omega=\pi/4$, $\Delta\Omega=7\pi/4$, $\Delta\Omega=5\pi/4$, $\Delta\Omega=\pi/2$, $\Delta\Omega=3\pi/2$ 의 순서로 좋은 특성을 보이며, $\Delta\Omega=\pi/2$ 및 $\Delta\Omega=3\pi/2$ 인 경우는 현격히 특성이 나빠진다.

참 고 문 헌

- [1] H.C. Casey and M.B. Panish, *Heterostructure Lasers (Part A)*, Academic Press, pp.90-105, 1978.
- [2] 권기영 외, “DFB Laser의 Beam Profile에 관한 연구”, 한국전자통신연구소 (연구수행기관):

공주대학교) 연구보고서, 제 2 장, 1992

- [3] J. Buus, "Mode selectivity in DFB lasers with cleaved facets," *Electron. Lett.*, vol. 21, pp. 179-180, 1985.
- [4] J. Kinoshita and K. Matsumoto, "Yield analysis of SML DFB lasers with an axially-flettened internal field," *IEEE J. Quantum Electron.*, vol. 25, pp. 1324-1332, 1989.
- [5] H. Soda, Y. Kotaki, H. Sudo, H. Ishikawa, S. Yamakoshi, and H. Imai, "Stability in single longitudinal mode operation in GaInAsP/InP phase-adjusted DFB lasers," *IEEE J. Quantum Electron.*, vol. 23, pp. 804-814, 1987.
- [6] Y. Nakano, Y. Luo, and K. Tada, "Facet reflection independent, single longitudinal mode oscillation in a GaAlAs/GaAs distributed feedback laser equipped with a gain-coupling mechanism," *Appl. Phys. Lett.*, vol. 55, pp. 1606-1608, 1989.
- [7] Y. Luo, Y. Nakano, K. Tada, T. Inone, H. Hosomatsu, and H. Iwakoka, "Purely gain-coupled distributed feedback lasers," *Appl. Phys. Lett.*, vol. 56, pp. 1620-1622, 1990.
- [8] G. Morthier, P. Vankwikelberge, K. David, and R. Baets, "Improved performance of AR-coated DFB lasers by the introduction of gain-coupling," *IEEE Photon. Technol. Lett.*, vol. 2, pp. 170-172, 1990.
- [9] H. Kogelnik and C. V. Shank, "Coupled-wave theory of distributed feedback lasers," *J. of Appl. Phys.*, vol. 43, no. 5, pp. 2327-2335, 1972.
- [10] 권기영, “1.55 μm DFB 레이저의 특성에 미치는 Grating 구조와 Mirror 위치의 영향”, 대한전자공학회 논문지 제31권 A편 제9호, pp. 128-138, 1994.

저 자 소 개

權奇英(正會員) 第31卷 A編 第5號 參照

현재 공주대학교 전자공학과
조교수